# 小型化双极化 TEM 喇叭天线设计

赵子鑫<sup>1</sup> 陈 星<sup>1</sup> ZHAO Zixin CHEN Xing

## 摘要

利用低频补偿技术,即通过加载感性结构的方式,降低 TEM 喇叭天线低频容性电抗影响,设计了一款 小型化双极化 TEM 喇叭天线。以单极化的指数渐变极板结构的 TEM 喇叭天线为基础,通过 90° 交叉 放置两支天线,实现双极化设计。为了实现低频带宽的拓展,在主辐射结构的下方引入了匹配带条结构,在其上方加载了脊结构,同时主辐射结构末端均做了垂直延伸处理。矩形反射板采用了在四周加载挡板 的设计,并在挡板上引入了椭圆形凹槽。利用 3D 打印技术,对所设计的 TEM 喇叭天线进行了加工验证。 仿真和测试结果表明,天线实现了 12.1 个倍频的工作带宽(VSWR<2,0.72~8.72 GHz)。天线电尺 寸仅为  $0.26\lambda \times 0.26\lambda \times 0.16\lambda$  ( $\lambda$  为天线工作频段低端波长),在尺寸方面小于传统的半波长 TEM 喇叭天线,有着较好的定向辐射性能。

关键词

TEM 喇叭天线; 小型化; 双极化; 低频补偿; 匹配带条

doi: 10.3969/j.issn.1672-9528.2024.04.036

### 0 引言

为了满足在日益复杂的电磁环境下实现高质量通信的需求,对通信系统硬件的电磁性能提出了更高的要求。在实际工程应用中,设计具有宽带及小型化特征的天线已成为天线设计领域的共识。常用的宽带天线的类型有:单极子天线、对数周期天线、Vivaldi 天线等<sup>[1-3]</sup>。TEM喇叭天线由于具有超宽带、定向高增益等优秀性能,常用于各类工程应用当中。当前国内外关于 TEM喇叭天线的研究方向,主要是实现TEM喇叭天线的小型化设计与提高增益<sup>[4-8]</sup>。双极化天线技术能够有效提高信道利用率,减弱多径效应。目前针对双极化 TEM喇叭天线的设计,对于实际工程项目具有十分重要的意义。

TEM 喇叭天线通常是由一对具有一定角度的金属板构成,其原理可以参考平行板双导线<sup>[9]</sup>,将两侧金属板切分成若干部分,每一部分小段金属板可以视作平行板双导线。在 TEM 喇叭天线工作时,高频电流在金属极板的表面流动,在极板之间传播电磁波,因为在电磁波的传播方向上,不存在电场与磁场的分量,所以在极板之间传播 TEM 模式的电磁波,并且天线结构类似于一个喇叭,因此被称作 TEM 喇叭天线。根据保角变换法,能够推导出 TEM 喇叭天线的特性阻抗为<sup>[10]</sup>:

目(No.WBC2312008)

$$Z_{c} = \begin{cases} 60 \ln \left( \frac{8h}{w} + \frac{w}{4h} \right) & w < h \\ 120\pi / \left[ \frac{w}{h} + 1.393 + 0.667 \ln \left( \frac{w}{h} + 1.444 \right) \right] & w \ge h \end{cases}$$
 (1)

式中: w 为天线口径的宽度, h 为天线口径高度。

TEM 喇叭天线能够通过调整两个极板之间的夹角和间距,实现从馈电处的  $50\,\Omega$  阻抗到口径处自由空间的  $120\,\Omega$  阻抗的匹配,以减小反射损耗。为了更平缓地实现阻抗匹配过渡,以达到更优的性能,可使用指数渐变  $^{[11]}$ 、椭圆函数渐变  $^{[12]}$ 等极板结构。

在低频辐射工作时,TEM喇叭天线与开路状态的矩形 平板传输线类似,存在较大的容性电抗,会将大量的能量 反射回端口,从而影响辐射性能,这也是导致传统的 TEM喇叭天线电尺寸较大,通常为半个波长的一个原因。为了降低低频容性电抗影响,可采用加载感性结构的方式,如

文献 [13] 中,对指数 TEM 喇叭天线采用加载 矩形板结构的方式,将 该结构等效为低频时的 磁偶极子,能够抵消天 线的容性电抗的影响,从而获得更宽的工作带宽,其等效电路如图 1 所示。

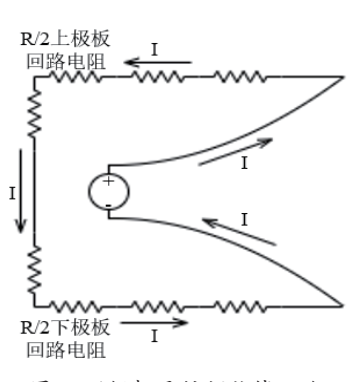


图 1 磁偶极子低频补偿回路

<sup>1.</sup> 四川大学电子信息学院 四川成都 610064 [基金项目] 中国电波传播研究所稳定支持科研经费资助项

#### 1 天线设计与仿真

天线极板采用指数渐变的结构,其中 $L_1(z)$ 为 TEM 喇叭 天线两极板之间的间距, $W_1(z)$  为极板宽度,其公式为:

$$L_{1}(z) = a_{1} \cdot e^{b_{1}z} \tag{2}$$

$$W_1(z) = c_1 \cdot e^{d_1 z} \tag{3}$$

天线的主要结构参数如图 2 所示, 其具体数值详见表 1。

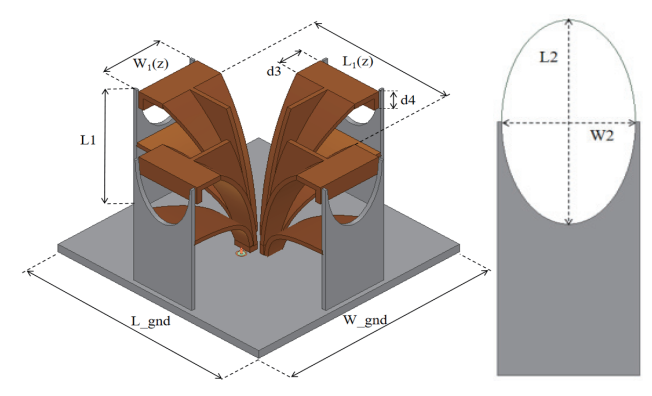


图 2 天线结构参数示意图

表1 天线结构参数表

$a_1$	$b_1$	$c_1$	$d_1$	$a_2$	$b_2$
0.004 35	26	0.005 75	37	0.002 15	65
$c_2$	$d_2$	L_gnd	W_gnd	$d_3$	$d_4$
0.002 35	104	110	110	13.5	8.5
$L_1$	$L_2$	$W_2$			
68	23	14			

为了实现双极化设计,基于单极化指数渐变极板结构 TEM 喇叭天线,通过交叉 90°放置两支加载矩形反射板的 单极化天线,构建了如图 3 所示的天线 1。由之前的 TEM 喇 叭天线阻抗公式可以得出,在修改极板宽度与间距之后,天 线特性阻抗会随之改变,从而影响天线的阻抗匹配。由图 4 仿真结果可以看出, 天线驻波比在低频时不是很理想。

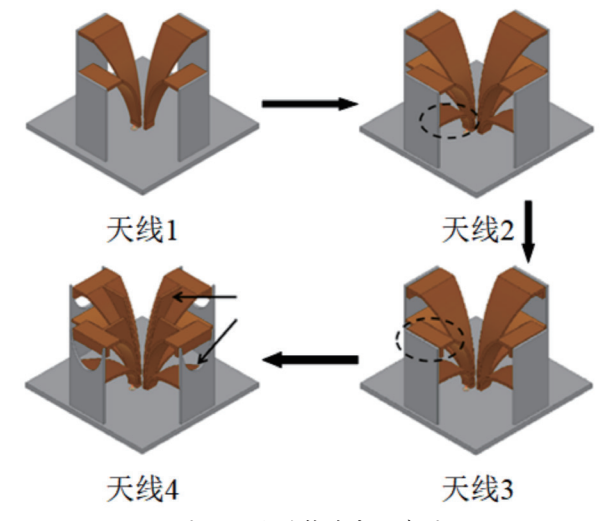


图 3 天线结构演变示意图

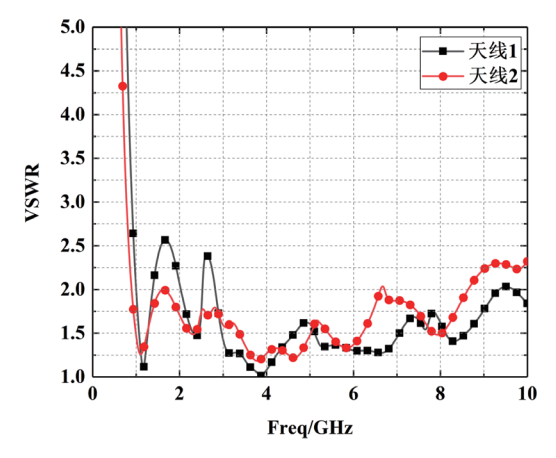


图 4 天线 1 与天线 2 仿真 VSWR 结果

针对这一问题,对天线加载了匹配带条结构,其结构如 图 3 中天线 2。其窄边等宽于极板底部窄边, 宽边等宽于矩 形反射板宽度,以指数函数形式渐变,参数为:

$$L_2(z) = a_2 \cdot e^{b_2 z} \tag{4}$$

$$W_2(z) = c_2 \cdot e^{d_2 z} \tag{5}$$

式中:  $L_2(z)$  为两侧匹配带条之间的间距,  $W_2(z)$  为匹配带条 宽度。

加载匹配带条结构之后,可以通过改变该结构的尺寸、 形状和位置,起到控制磁能的效果,从而改善天线特性阻抗 改变导致的阻抗匹配问题。从图 4 仿真 VSWR 数据可以看出, 低频带宽得到改善,从 2.83 GHz 降低至 0.9 GHz, 电尺寸得 以降低,完成天线小型化设计的初步目标。

为了在不增加天线尺寸前提下,进一步拓宽天线低端带 宽,实现 TEM 喇叭天线的小型化设计,对 TEM 喇叭天线极 板与矩形反射板之间进行切割,并将末端平板进行垂直加载, 结构如图 3 中天线 3 所示。加载的平板可以视为一个电感, 其与矩形反射板之间的间隙可以等效为电容, 通过调整平板 的尺寸以及其与反射板之间的距离,调节二者之间的耦合, 从而改善带宽。同时,末端加载的平板还能起到引导低频段 聚集于喇叭口径表面的能量,减少反射以及充分利用天线空 间的作用, 在维持天线整体物理尺寸不变的前提下, 极板的 电尺寸长度得以增加, 这将有利于天线小型化的设计。在进 行切割弯折之后, 在低频 0.5 GHz 处引入了新的谐振点, 如 果能够将该谐振点移动至工作频段,则能够进一步拓宽低频 带宽,等效实现天线的小型化设计。

为实现该目标,对矩形反射板进行开槽处理,通过该改 动,可以实现改变天线电流流动路径,改善天线的阻抗匹配。 与此同时,在极板上方加载脊结构,结构如图3天线4所示。 TEM 喇叭天线可以看作是矩形波导向两侧延展形成的,加 脊 TEM 喇叭天线也可以视为加脊矩形波导向两侧延展形成 的[14]。在相同尺寸条件下,将矩形波导与加脊波导进行对比,

加脊波导的截止波长更大,拥有更小的特性阻抗,以及更宽 的带宽。

从图 5 仿真的 VSWR 结果可以看出,在进行开槽处理 以及在极板上方加载脊结构,经过参数优化,最终天线实 现 0.72 ~ 8.86 GHz (VSWR<2) 的工作带宽, 电尺寸仅为  $0.26\lambda \times 0.26\lambda \times 0.16\lambda$  ( $\lambda$  为天线工作频段低端波长)。

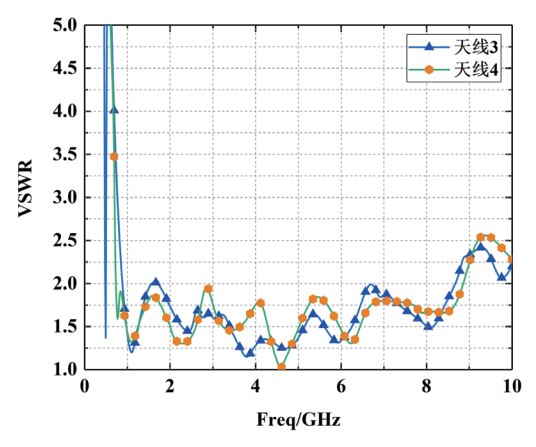


图 5 天线 3 与天线 4 仿真 VSWR 结果

### 2 加工验证

将前文所设计的双极化 TEM 喇叭天线进行加工和测试, 用以验证之前的理论分析与仿真结果。采用了 3D 打印的加 工方式, 所使用的材质为树脂材料, 打印完成后在表面进行 喷涂导电漆处理。天线实物加工图如图 6 所示。

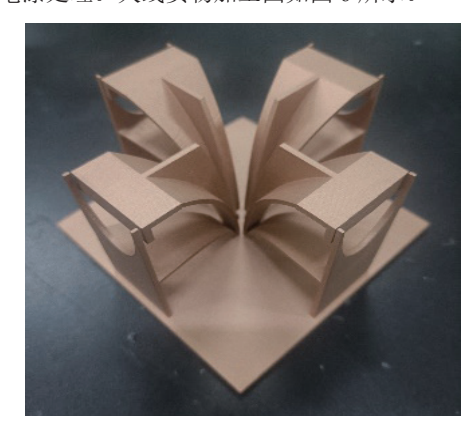


图 6 天线加工实物图

将天线实测数据与仿真结果进行对比,对比结果如图 7和图8所示。从图7和图8对比结果可以看出,天线加工 实测数据与此前仿真结果在整体上具有较高的吻合度,该天 线的驻波比在 0.73 ~ 8.72 GHz 的工作频带内均低于 2, 测 试结果高频带宽与仿真结果相比略低一点, 可能是由于天 线材质为树脂,表面喷涂导电漆,无法采用焊接的方式固 定 SMA 接头,只能采用导电胶与铜箔粘连,导致天线在高 频带宽略有降低。天线方向图的测试结果与仿真数据具有较 好的一致性。

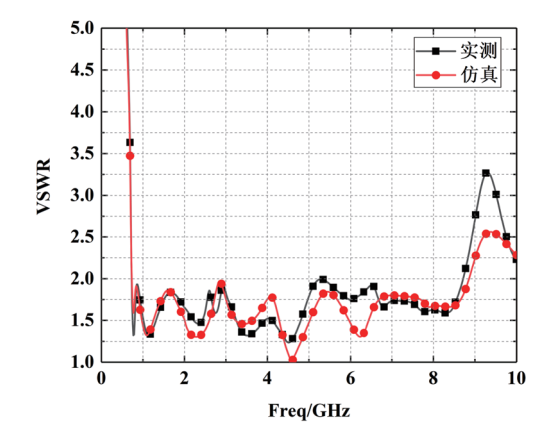
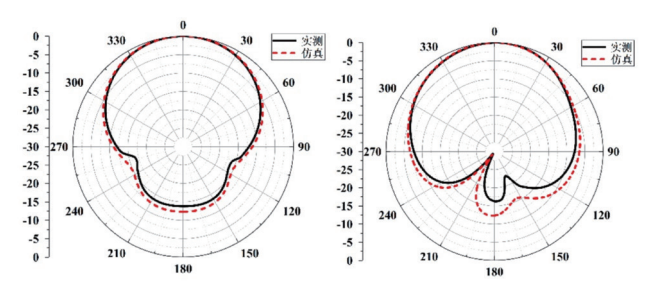
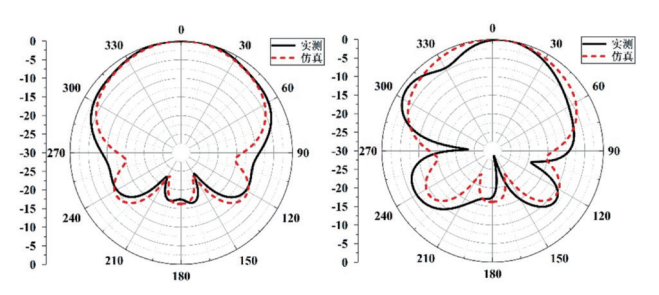


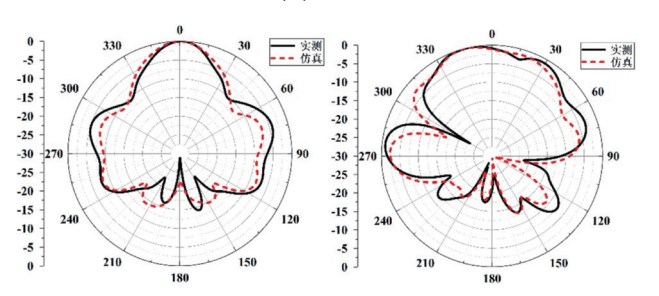
图 7 VSWR 结果对比



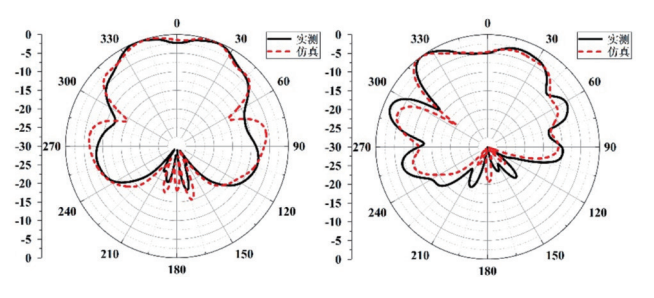
(a) 2 GHz



(b) 4 GHz



(c) 6 GHz



(d) 8 GHz

图 8 不同频点方向图数据对比图 (左为E面归一化方向图, 右为H面归一化方向图)

### 3 结论

本文从低频补偿原理开始,设计出加载垂直金属反射板的双极化 TEM 喇叭天线原型。为了改善由于构建双极化天线,改变喇叭极板尺寸和位置所导致的低频驻波恶化的问题,采取了加载匹配带条、极板末端加载、极板上方加载脊结构与开槽处理等方式,有效拓宽了天线低频带宽。最终,所设计的双极化 TEM 喇叭天线经加工后实测,可以实现在 0.72 ~ 8.72 GHz 的工作频段内,VSWR 小于 2,尺寸为110 mm×110 mm×66 mm(电尺寸为 0.26\u00e1×0.26\u00e1\u00e

## 参考文献:

- [1]WANG B, WEI Y. Design of a small and compact monopole ultra wideband antenna[C]//2018 International Conference on Microwave and Millimeter Wave Technology (ICMMT). Piscataway:IEEE, 2018: 1-3.
- [2]DOUZHANG D, SHANG F, PINGPEI A. A small dual stacked log periodic dipole array antenna as a feed for reflector antennas[C]//2021 International Conference on Microwave and Millimeter Wave Technology (ICMMT). Piscataway: IEEE, 2021: 1-3.
- [3]ZHANG K, TAN R, JIANG Z H, et al. A compact ultrawide-band dual-polarized Vivaldi antenna with radar cross section reduction[J]. IEEE antennas and wireless propagation letters, 2022, 21(7): 1323-1327.
- [4]ROJHANI N, PIERACCINI M, GOLAZARI S S. A compact TEM horn antenna for ground penetrating radar[C]//2018 International Conference on Advances in Computing, Communications and Informatics (ICACCI). Piscataway:IEEE, 2018: 1641-1645.
- [5]JIANG J, PAN S, WANG S, et al. Miniaturization design of VHF broadband directional radiation TEM horn antenna[C]//2020 International Conference on Microwave and Millimeter Wave Technology (ICMMT). Piscataway: IEEE, 2020: 1-3.
- [6]YADAV S V, CHITTORA A. A compact high power UWB TEM horn antenna[C]//2020 IEEE International Conference on Electronics, Computing and Communication Technologies (CONECCT). Piscataway:IEEE, 2020: 1-3.

- [7]DELMOTE P, BIETH F. Additional lens for TEM horn antenna and transient high-power application: Design and characterization in time domain[C]//2021 15th European Conference on Antennas and Propagation (EuCAP). Piscataway:IEEE, 2021: 1-5.
- [8] YAN X, ZHANG A. A miniaturized UWB TEM horn antenna design[C]//2023 International Applied Computational Electromagnetics Society Symposium (ACES-China). Piscataway:IEEE, 2023: 1-3.
- [9] 王长华, 王秩雄, 宋爱民, 等. 超宽带 TEM 喇叭天线的研究 [J]. 通信技术, 2010, 43(4):34-36.
- [10] R.· 路德维格 (美), 王子宇, 张肇仪,等. 射频电路设计 理论与应用 [M]. 北京: 电子工业出版社, 2002.
- [11] MALHERBE J. Design of ultra-wideband TEM horns[C]// Microwave Conference, 2007. APMC 2007. Asia-Pacific. Piscataway:IEEE, 2007: 1-4.
- [12] MALHERBE J A G, BARNES N. TEM horn antenna with an elliptic profile[J]. Microwave and optical technology letters, 2007, 49(7): 1548-1551.
- [13] ANDREEV Y A, KOSHELEV V I, PLISKO V V. Combined antennas for radiating ultrawideband short pulses[C]//2008 European Radar Conference. Piscataway: IEEE, 2008: 208-211.
- [14] 索莹.喇叭天线超宽带技术的研究 [D]. 黑龙江:哈尔滨工业大学,2007.

#### 【作者简介】

赵子鑫(1999—), 男, 四川乐山人, 硕士研究生, 研究方向: 天线设计。

陈星(1970—), 男, 四川巴中人, 教授, 博士生导师, 研究方向: 天线设计、电磁场与微波技术、并行计算等。

(收稿日期: 2024-01-15)